

# ЭНЕРГИЯ СВЯЗИ И ДИССОЦИАТИВНАЯ РЕКОМБИНАЦИЯ ИОНОВ $\text{Ne}_2^+$ И $\text{HeNe}^+$

*B. A. Иванов<sup>a\*</sup>, A. C. Петровская<sup>b\*\*</sup>, Ю. Э. Скобло<sup>a\*\*\*</sup>*

<sup>a</sup> Санкт-Петербургский государственный университет  
198504, Санкт-Петербург, Россия

<sup>b</sup> ООО «Интро-Микро»  
191036, Санкт-Петербург, Россия

Поступила в редакцию 30 июля 2018 г.,  
после переработки 16 ноября 2018 г.  
Принята к публикации 20 ноября 2018 г.

Представлены результаты исследования слабоионизованной распадающейся гелиевой плазмы с малой добавкой неона методом кинетической спектроскопии. Условия эксперимента — давление гелия 10–38 Торр, плотность электронов  $[e] \leq 2 \cdot 10^{11} \text{ см}^{-3}$ , плотность неона  $[\text{Ne}] \leq 2 \cdot 10^{-4} [\text{He}]$ . По излучению распадающейся плазмы идентифицированы процессы рекомбинации с электронами ионов  $\text{Ne}_2^+$ ,  $\text{He}_2^+$ ,  $\text{HeNe}^+$  и  $\text{Ne}^+$ . Показано, что неоновый спектр послесвечения при  $[e] \leq 10^{11} \text{ см}^{-3}$  формируется в основном диссоциативной рекомбинацией с электронами ионов  $\text{Ne}_2^+$  и  $\text{HeNe}^+$ , находящихся в основном колебательном состоянии  $v = 0$ . Раннее послесвечение ряда линий атома неона обусловлено известным процессом передачи возбуждения от атомов гелия в метастабильных состояниях  $\text{He}(2^3S_1, 2^1S_0)$ . При  $[e] > 10^{11} \text{ см}^{-3}$  наблюдается обогащение неонового спектра за счет ударно-радиационной рекомбинации ионов  $\text{Ne}^+$ . На рекомбинационной стадии послесвечения при комнатной температуре электронов для диссоциативной рекомбинации обоих молекулярных ионов характерно наличие четкой границы сверху по энергии возбуждения заселяемых уровней атома неона. Для  $\text{Ne}_2^+$  это уровень  $3p_1$  (в обозначениях Пашена) с энергией 20.369 эВ, причем ближайшими к  $\text{Ne}_2^+$  ( $v = 0$ ) по энергии уровнями являются  $3p_3$  и  $3p_2$  с энергиями соответственно 20.26 и 20.3 эВ; для  $\text{HeNe}^+$  — уровень  $5d'_1$  с энергией около 21.02 эВ. Эти величины предлагаются принять за энергию ионов  $\text{Ne}_2^+$  и  $\text{HeNe}^+$  в основном колебательном состоянии.

DOI: 10.1134/S0044451019050146

## 1. ВВЕДЕНИЕ

Свойства плазмы инертных газов в значительной степени обусловлены процессами с участием молекулярных ионов. С точки зрения их влияния на характеристики излучения плазмы при невысоких температурах электронов наибольший интерес представляет процесс диссоциативной рекомбинации (ДР):



Исследование процессов в распадающейся плазме инертных газов, начатому Бионди и Брауном [1], посвящены сотни экспериментальных и теоретических

работ и десятки обзоров (например, [2–6]). Наиболее детальную и важную для понимания механизма процесса информацию дают результаты исследования набора выходных каналов ДР. Спектроскопические эксперименты с плазмой послесвечения чистых инертных газов показали, что при комнатной температуре электронов в результате (1) происходит заселение возбужденных уровней атомов конфигураций  $np^5(n+1)p$ ,  $np^5(n+1)d$  и  $np^5(n+2)p$  [4, 7, 8] ( $n$  — главное квантовое число невозбужденного электрона). Эти возбужденные состояния в течение длительного времени считались единственными продуктами ДР гомоядерных молекулярных ионов инертных газов (мы не касаемся здесь проблемы ДР ионов  $\text{He}_2^+$ , как и ДР при высокой температуре электронов, когда включается пороговый механизм [4, 8]). Однако эксперименты, выполненные методом времязаписи спектроскопии [9, 10], указали на необходимость расширения набора конечных продуктов ДР

\* E-mail: v.a.ivanov@spbu.ru

\*\* E-mail: anita3425@yandex.ru

\*\*\* E-mail: yuri\_skoblo@mail.ru

включением в него первых возбужденных состояний  $np^5(n+1)s$  [10] и даже основного  $np^6$ -состояния атомов [9].

Интерпретация выводов [9, 10] выходит далеко за рамки данной работы, поэтому отметим лишь важное для дальнейшего изложения следствие этих и цитированных выше исследований: при комнатной температуре электронов в процессе ДР заселяются только те уровни  $i$  атомов  $R_i^*$ , которые в шкале энергии расположены в резонансе или ниже нулевого колебательного уровня основного электронного состояния молекулярного иона. Особенно отчетливо эта закономерность прослеживается в ксеноновой плазме [8]. Этот факт, в частности, приводит к следующим двум заключениям: а) интерпретация спектроскопических наблюдений плазмы послесвечения может основываться на простой модели, согласно которой в рекомбинации участвуют только молекулярные ионы в основном колебательном состоянии (GVS) — модели GVS [11], и б) потенциальные кривые взаимодействия  $R_i^* + R$  (их пересечения друг с другом и с  $R_2^+$ ) расположены таким образом, что допускают в процессе рекомбинации (1) появление атомов  $R_i^*$  с энергией возбуждения, близкой к энергии GVS и ниже.

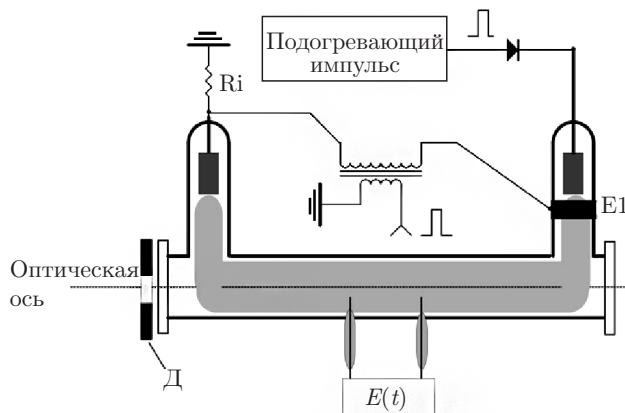
В плазме смесей инертных газов ситуация не столь ясна по двум причинам. Во-первых, в такой плазме присутствуют гетероядерные ионы, о рекомбинации которых пока мало что известно. Во-вторых, возникает вопрос о распределении населенностей по колебательным уровням молекулярных ионов. Колебательная релаксация молекулярных ионов наиболее эффективно идет в собственном газе. Первая, насколько нам известно, оценка скорости процесса, отражающая доминирующую в настоящее время точку зрения, приведена в работе [12]. В соответствии с ней при давлении 1 Торр характерное время  $V-T$ -релаксации гомоядерного иона с колебательным квантовым числом  $v$  составляет  $\approx 10^{-2}$  мс/ $v$ , т. е. при давлениях десятки Торр процесс идет очень быстро. Заметим, однако, что экспериментальные данные о скорости процесса до сих пор отсутствуют. В плазме смесей, особенно если содержание легко ионизуемой добавки мало, ситуация может быть иной, так что нельзя исключить возможность участия в рекомбинации колебательно-возбужденных ионов с энергией связи  $D_x$ , меньшей энергии связи иона в основном колебательном состоянии  $D_0$ . В данной работе анализируются результаты спектроскопических наблюдений послесвечения Не–Не-плазмы, основная цель которых состояла в том, чтобы найти конечные продукты ДР с

максимальной энергией возбуждения, что позволило бы оценить энергию связи  $D_x$  участвующих в рекомбинации ионов  $\text{Ne}_2^+$  и  $\text{HeNe}^+$  и сравнить ее с величинами  $D_0$  этих ионов, имеющимися в литературе. В предшествующих экспериментах [13–16] в распадающейся плазме с плотностью электронов  $[e] \leq 10^{11} \text{ см}^{-3}$  обнаружено заселение уровней  $2p^53p$ ,  $2p^53d$ ,  $2p^54p$ ,  $2p^55s$  и  $2p^54d$  с энергией возбуждения, заметно меньшей энергии  $\text{HeNe}^+$  ( $v = 0$ ). В работе [17] к рекомбинации ионов  $\text{HeNe}^+$  авторы отнесли также и происхождение нескольких линий переходов с уровнями  $2p^56s$ -,  $2p^55d$ -конфигураций, в том числе линия 503.13 нм ( $5d'_1 \rightarrow 2p_9$ ) с уровня  $5d'_1$  с энергией 21.0187 эВ [18]. В отношении линий, лежащих выше 5d-уровней, в [17] удалось указать лишь верхний предел интенсивностей в послесвечении. Отсутствие в спектре распадающейся плазмы линий, излучаемых высоковозбужденными атомами неона в экспериментах [13–17], позволило авторам не обсуждать роль ударно-радиационной рекомбинации (УРР) ионов  $\text{Ne}^+$ . Простые оценки, однако, показывают, что при  $[e] \sim 10^{11} \text{ см}^{-3}$  полный поток УРР заметно превышает парциальные потоки ДР ионов  $\text{HeNe}^+$  на уровне 5d [17] и, таким образом, неопределенность роли УРР атомарных ионов  $\text{Ne}^+$  с электронами не позволяет с уверенностью исключить этот процесс как альтернативный механизм заселения высоковозбужденных уровней атома неона.

В данной работе измерения интенсивностей линий проведены в более широком диапазоне плотности электронов и поставлен эксперимент по импульсному «нагреву» электронов в послесвечении. Это позволило наблюдать участие УРР в формировании спектра послесвечения. Наряду с обычным импульсным разрядом постоянного тока, в качестве источника плазмы использовался разряд с диэлектрическим барьером. Помимо гарантированного давления явления катафореза, этот разряд удобен тем, что в его послесвечении легко разделяются стадии чисто рекомбинационного заселения возбужденных уровней атома неона и передачи возбуждения от метастабильных атомов гелия.

## 2. УСЛОВИЯ И ТЕХНИКА ЭКСПЕРИМЕНТА

В основных чертах эксперимент аналогичен описанному в работах [19–21]. Методом многоканального счета фотонов в области длин волн 300–850 нм регистрировалось излучение распадающейся Не–Не-плазмы, создаваемой двумя типами разрядов. Большая часть данных получена из



**Рис. 1.** Упрощенная схема совмещения разряда с диэлектрическим барьером (РДБ) и зондирующем импульсного разряда постоянного тока:  $E_1$  — кольцо из медной фольги на внешней поверхности стеклянной трубки. Второй электрод РДБ совмещен с катодом разрядной трубки,  $E(t)$  — модуль измерения напряженности продольного электрического поля методом двух зондов,  $\Delta$  — диафрагма

анализа послесвечения слаботочного ( $10\text{--}20$  мА) импульсного разряда постоянного тока в тех же условиях, что и в цитированных выше экспериментах [13–17] (давление гелия 38 Торр, отношение плотностей  $[\text{Ne}]/[\text{He}] \sim 10^{-5}$ , концентрация электронов  $[e] \sim (0.5\text{--}1.0) \cdot 10^{11} \text{ см}^{-3}$ ). Для минимизации разделения исследуемой смеси вследствие катафореза отношение длительности импульса тока разряда к длительности стадии послесвечения устанавливалось достаточно малым — не более 1/100.

С целью постановки эксперимента в более широком диапазоне условий и подавления явления катафореза, в том числе и при более высокой степени ионизации смеси, мы использовали один из вариантов широко используемого в последнее время разряда с одним диэлектрическим барьером (РДБ) между двумя электродами, один из которых расположен на внешней поверхности стеклянной трубы диаметром 3.8 см, второй — внутри, как это показано на рис. 1. Подобные конструкции используются для создания плазменных струй атмосферного давления [22]. Такое расположение электродов допускает совмещение РДБ, создавшего плазму, и зондирующего импульсного несамостоятельного разряда, «подогревающего» электроны в послесвечении.

Плотность электронов  $[e](t)$  измерялась по проводимости плазмы из наблюдений отклика тока на небольшое по амплитуде продольное электрическое поле в послесвечении. Впервые похожая методика, названная «after-pulse technique», применена в работе [23].

Для измерения величины  $[e](t)$  в фазе послесвечения формировался зондирующий импульс напряжения между электродами разрядной трубы. Длительность и амплитуда импульса выбирались настолько малыми, чтобы величина  $[e](t)$  не успевала измениться существенным образом за время импульса. Регистрировались значения напряженности электрического поля  $E(t)$  (по разности потенциалов зондов, близких к плавающим потенциалам) и ток через разрядную трубку  $i(t)$  по падению напряжения на сопротивлении, включенном последовательно с разрядной трубкой в цепь питания. Распределение плотности электронов по сечению разрядной трубы считалось бесцелевским. Величина  $[e](t, r = 0)$ , отнесенная к оси разрядной трубы  $r = 0$ , находилась из равенства, связывающего ток  $i(t)$  и напряженность электрического поля  $E(t)$ :

$$i(t) = 2\pi e_0 b_e(T_e) E(t) [e](t, r = 0) \times \\ \times \int_0^R J_0 \left( 2.405 \frac{r}{R} \right) r dr,$$

где  $e_0$  — элементарный электрический заряд,  $b_e(T_e)$  — подвижность электронов при температуре  $T_e$ ,  $R$  — радиус разрядной трубы. Температура электронов находилась из условия баланса энергии, получаемой электронами от электрического поля и теряемой при упругих столкновениях. Данные о сечении  $\sigma_{ea}^M$  упругих столкновений электронов с атомами гелия с передачей импульса были взяты из работы [24]. Оценки показывают, что время

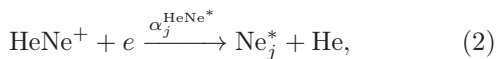
$$\tau_T = \left( \frac{2m}{M} [\text{He}] \langle \sigma_{ea}^M v \rangle \right)^{-1}$$

установления температуры электронов, соответствующей значению напряженности электрического поля, при  $kT_e = (0.025\text{--}2.5)$  эВ и давлениях гелия (10–38) Торр составляет  $(10^{-7}\text{--}10^{-6})$  с, что было значительно меньше характерной длительности зондирующего импульса около 10 мкс. Приведенная напряженность электрического поля  $E/[\text{He}]$  в зондирующем импульсе составляла примерно  $0.5 \cdot 10^{-17}$  В·см $^2$ . Ей соответствовала тепловая энергия электронов  $kT_e \approx 0.2$  эВ.

На начальной стадии распада плазмы плотность электронов на оси варьировалась в пределах  $(0.5\text{--}1.0) \cdot 10^{11} \text{ см}^{-3}$  в случае импульсного разряда постоянного тока и  $(0.5\text{--}2.0) \cdot 10^{11} \text{ см}^{-3}$  при использовании барьерного разряда.

Особое внимание было уделено чистоте гелия, который перед наполнением разрядных трубок под-

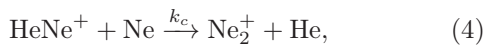
вергался очистке в дополнительной разрядной ячейке методом, основанным на явлении катафореза. Важной особенностью эксперимента было использование смеси с очень малым содержанием неона, таким, что отношение плотностей  $[Ne]/[He]$  было менее  $2 \cdot 10^{-4}$  при давлении гелия (10–38) Торр. Как показывает моделирование процессов в He–Ne-плазме [25], в этих условиях конечная стадия эволюции ионного состава в послесвечение  $\text{He}^+ \rightarrow \text{He}_2^+ \rightarrow \text{Ne}^+ \rightarrow \text{HeNe}^+ \rightarrow \text{Ne}_2^+$  [26, 27] происходит при близких по величине плотностях ионов  $\text{Ne}_2^+$  и  $\text{HeNe}^+$ , так что выбранное отношение  $[Ne]/[He]$  оптимально для анализа диссоциативной рекомбинации ионов  $\text{HeNe}^+$ :



появление которых в плазме обусловлено процессом конверсии:



$\beta_c = (2.3 \pm 0.1) \cdot 10^{-32} \text{ см}^6/\text{с}$  [27]. При заметно большем содержании неона характерное время существования ионов  $\text{HeNe}^+$  в послесвечении становится малым вследствие быстрого процесса конверсии



константа скорости которого  $k_c = (3 \pm 1) \times 10^{-11} \text{ см}^3/\text{с}$  [26].

### 3. РЕЗУЛЬТАТЫ И ОБСУЖДЕНИЕ

Общее представление о послесвечении на переходах атома неона в данных условиях дает рис. 2. Обработка большого массива данных типа представленных на рис. 2 показала следующее. Есть две группы линий, относительные интенсивности которых  $J_\lambda(t)$  в послесвечении меняются подобно линиям 585.2 нм ( $2p_1 \rightarrow 1s_2$ ) и 576.44 нм ( $4d'_4 \rightarrow 2p_9$ )<sup>1)</sup>.

<sup>1)</sup> В нашем эксперименте не было возможности разрешить линии 576.44 нм ( $4d'_4 \rightarrow 2p_9$ ) и 576.41 нм ( $4d_4 \rightarrow 2p_9$ ). Мы полагали, что вкладом излучения на линии 576.41 нм в суммарный световой поток можно пренебречь, поскольку вероятность радиационного перехода  $4d'_4 \rightarrow 2p_9$  более чем в 20 раз превышает вероятность перехода  $4d_4 \rightarrow 2p_9$  [42]. При этом, в силу перемешивания атомным ударом, отношение населенностей верхних уровней не должно сильно отличаться от отношения статистических весов уровней  $4d'_4$  и  $4d_4$  9 : 7, так как разность уровней энергии  $4d'_4$  и  $4d_4$  составляет 0.00014 эВ, т. е. величину, много меньшую тепловой энергии атомов.

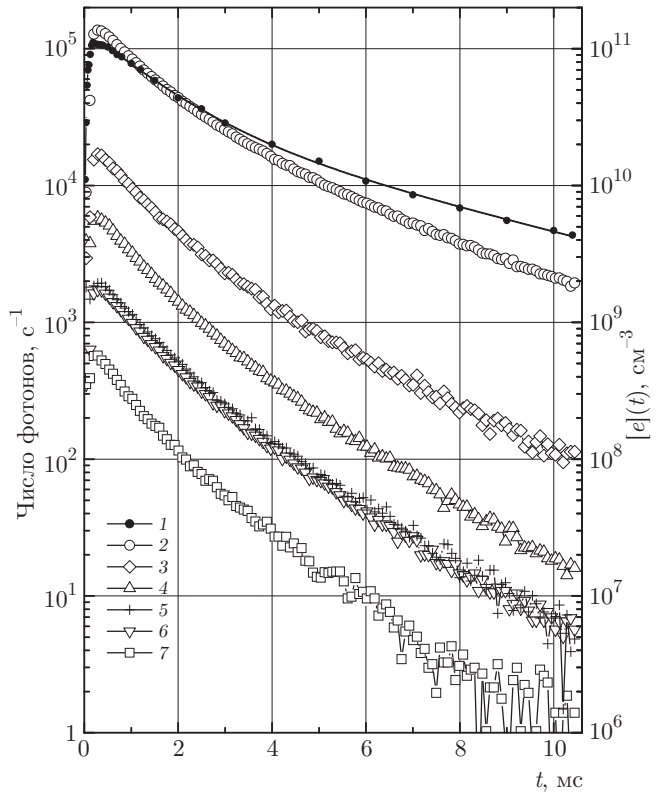
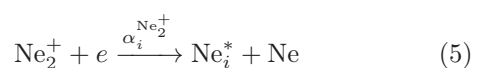


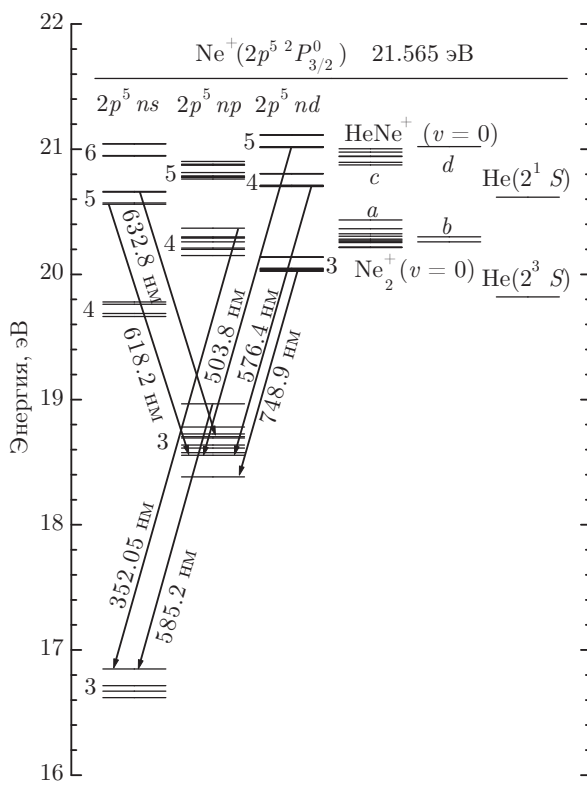
Рис. 2. Интенсивности линий атома неона и концентрация электронов в послесвечении импульсного разряда: 1 — концентрация электронов на оси разрядной трубы  $[e](t)$ , 2 — 585.2 нм, 3 — 748.9 нм (на рисунке приведена интенсивность линии 748.9 нм, умноженная на 10), 4 — 576.44 нм, 5 — 618.2 нм, 6 — 352.0 нм, 7 — 503.8 нм. Давление гелия  $P_{\text{He}} = 38$  Торр,  $[Ne] \approx 10^{13} \text{ см}^{-3}$ , концентрация электронов в начале фазы послесвечения  $[e](t_d) = 0.9 \cdot 10^{11} \text{ см}^{-3}$

Принадлежность к одной из них находится в очевидном соответствии с положением верхнего уровня  $i$  относительно состояний  $\text{Ne}_2^+$  ( $v = 0$ ) и  $\text{HeNe}^+$  ( $v = 0$ ) (см. рис. 3). Так, например, линии с поведением, как  $J_{576.4}(t)$ , исходят с уровней, лежащих между  $\text{Ne}_2^+$  ( $v = 0$ ) и  $\text{HeNe}^+$  ( $v = 0$ ). Линии, близкие по поведению к  $J_{585.2}(t)$  — в основном, с уровней ниже  $\text{Ne}_2^+$  ( $v = 0$ ). Линии третьей группы (на рис. 2 — 748.9 нм ( $3d_3 \rightarrow 2p_{10}$ )) — по характеру зависимости  $J_\lambda(t)$  занимают промежуточное положение, отражая участие в сравнимой степени обоих ионов в рекомбинационном заселении соответствующих уровней.

Связанные с процессами (2) и (5)



потоки заселения возбужденных уровней  $i$  атома неона, лежащих ниже  $\text{Ne}_2^+$  ( $v = 0$ ), могут в общем случае быть представлены следующим образом:



**Рис. 3.** Схема уровней атома неона:  $\text{He}(2^3 S)$  и  $\text{He}(2^1 S)$  — уровни энергии атомов гелия в метастабильных состояниях 19.820 эВ и 20.616 эВ [28]. Энергия основного состояния  $\text{Ne}_2^+(v=0)$ : *a* — по работам [10, 30–39], *b* — по данной работе. Энергия основного состояния  $\text{HeNe}^+(v=0)$ : *c* — по работам [46–51]; *d* — по данной работе

$$\Gamma_i(t) = \alpha_i^{\text{HeNe}^+} [\text{HeNe}^+](t)[e](t) + \alpha_i^{\text{Ne}_2^+} [\text{Ne}_2^+](t)[e](t), \quad (6)$$

где  $\alpha_i^{\text{HeNe}^+}$  и  $\alpha_i^{\text{Ne}_2^+}$  — парциальные коэффициенты рекомбинации ионов  $\text{HeNe}^+(v=0)$  и  $\text{Ne}_2^+(v=0)$  на уровне *i* атома.

Для состояний, энергии которых лежат между  $\text{Ne}_2^+(v=0)$  и  $\text{HeNe}^+(v=0)$  и которые поэтому доступны только для процесса (2),

$$\Gamma_j(t) = \alpha_j^{\text{HeNe}^+} [\text{HeNe}^+](t)[e](t).$$

Тогда отношения потоков

$$\frac{\Gamma_i(t)}{\Gamma_j(t)} = A_{ij} + B_{ij} \frac{[\text{Ne}_2^+]}{[\text{HeNe}^+](t)} \quad (7)$$

являются линейными функциями отношения плотностей молекулярных ионов, а коэффициенты  $A_{ij}$  и  $B_{ij}$  — отношения соответствующих парциальных коэффициентов. Наглядное представление о времен-

ной зависимости  $\Gamma_i(t)/\Gamma_j(t)$  дает следующая простая модель. Наряду с реакцией (4) учтем процессы разрушения гомоядерных ионов:

$$\frac{d}{dt} [\text{Ne}_2^+] = k_c [\text{HeNe}^+](t)[\text{Ne}] - \alpha^{\text{Ne}_2^+} [\text{Ne}_2^+](t)[e](t) - \frac{[\text{Ne}_2^+](t)}{\tau_D^{\text{Ne}_2^+}}, \quad (8)$$

где  $\alpha^{\text{Ne}_2^+} = \sum_i \alpha_i^{\text{Ne}_2^+} = (1.7 \pm 0.1) \cdot 10^{-7} \text{ см}^3/\text{с}$  — коэффициент рекомбинации иона  $\text{Ne}_2^+$  [29],  $\tau_D^{\text{Ne}_2^+}$  — время жизни иона по отношению к процессу амбиополярной диффузии, который при наших условиях вносит малую поправку в кинетику молекулярных ионов в стадии распада плазмы. Характерные времена изменения связанных с ионами  $\text{Ne}_2^+$  интенсивностей линий в послесвечении в условиях эксперимента намного превышают время рекомбинации  $\tau = (\alpha^{\text{Ne}_2^+}[e])^{-1}$ , так что правомерно обратиться к квазистационарному решению уравнения (8), полагая  $d[\text{Ne}_2^+]/dt = 0$ :

$$\frac{[\text{Ne}_2^+](t)}{[\text{HeNe}^+](t)} = \frac{k_c [\text{Ne}]}{\alpha^{\text{Ne}_2^+} [e](t)}. \quad (9)$$

Отсюда ясно, что искомое отношение (7) в этом приближении описывается линейной функцией, аргументом которой служит обратная концентрация электронов. Рост зависимости  $\Gamma_i(t)/\Gamma_j(t)$  с уменьшением концентрации электронов со временем в послесвечении отражает тот факт, что ион  $\text{Ne}_2^+$  является конечным продуктом в цепочке ионно-молекулярных реакций  $\text{He}^+ \rightarrow \text{He}_2^+ \rightarrow \text{Ne}^+ \rightarrow \text{HeNe}^+ \rightarrow \text{Ne}_2^+$  в плазме послесвечения импульсного разряда в гелии с малой примесью неона. На рис. 4 представлено отношение интенсивностей наиболее ярких линий — 585.2 нм, верхний уровень которой  $2p_1$  заселяется преимущественно вследствие (5), и 576.4 нм, связанной, как следует из диаграммы уровней рис. 3, только с гетероядерными ионами (2). Видно, что приближение  $d[\text{Ne}_2^+]/dt = 0$  неплохо описывает экспериментальные данные.

### 3.1. Рекомбинация ионов $\text{Ne}_2^+$

В табл. 1 представлены данные различных работ об энергии связи  $D_0$  молекулярного иона  $\text{Ne}_2^+$ .

На рис. 3 уровни энергии основного состояния  $\text{Ne}_2^+(v=0)$  по данным работ [10, 30–39] отмечены буквой «*a*». Видно, что для решения задачи, поставленной в данной работе, можно воспользоваться результатами анализа послесвечения линий переходов  $2p^5 4p \rightarrow 2p^5 3s$ .

**Таблица 1.** Энергия диссоциации молекулярного иона  $\text{Ne}_2^+$  ( $v = 0$ ) по данным экспериментальных работ и расчетов

| Энергия связи<br>$D_0$ иона $\text{Ne}_2^+$<br>в состоянии<br>$X^2 \sum_u^+ v = 0$ , эВ | Метод  | Теория/<br>Эксперимент | Ссылка |
|---|--|------------------------|--------|
| $1.35 \pm 0.07$   | Уширение спектральных линий в послесвечении разряда вследствие ДР        | Эксперимент            | [30]   |
| $1.30 \pm 0.01(D_e)$  | Рассеяние $\text{Ne} + \text{Ne}^+$                                      | Эксперимент            | [31]   |
| $1.24 \pm 0.08$   | Фотоионизационная масс-спектроскопия                                     | Эксперимент            | [32]   |
| $1.35 \pm 0.10$   | Спектроскопия фотодиссоциации  | Эксперимент            | [33]   |
| $1.20 \pm 0.08$   | Уширение спектральных линий вследствие ДР в тлеющем разряде              | Эксперимент            | [34]   |
| $1.291 \pm 0.010$   | Пороговая фотоэлектронная спектроскопия димеров инертных газов           | Эксперимент            | [35]   |
| $1.26 \pm 0.02$   | Анализ продуктов ДР по времени пролета                                   | Эксперимент            | [10]   |
| 1.346   | Микроволновая спектроскопия  | Эксперимент            | [36]   |
| 1.13  | <i>Ab initio</i> СІ вычисления с учетом спин-орбитального взаимодействия | Теория                 | [37]   |
| 1.310   | Метод функционала плотности  | Теория                 | [38]   |
| 1.283   | Теория возмущения третьего порядка для многих тел                        | Теория                 | [39]   |

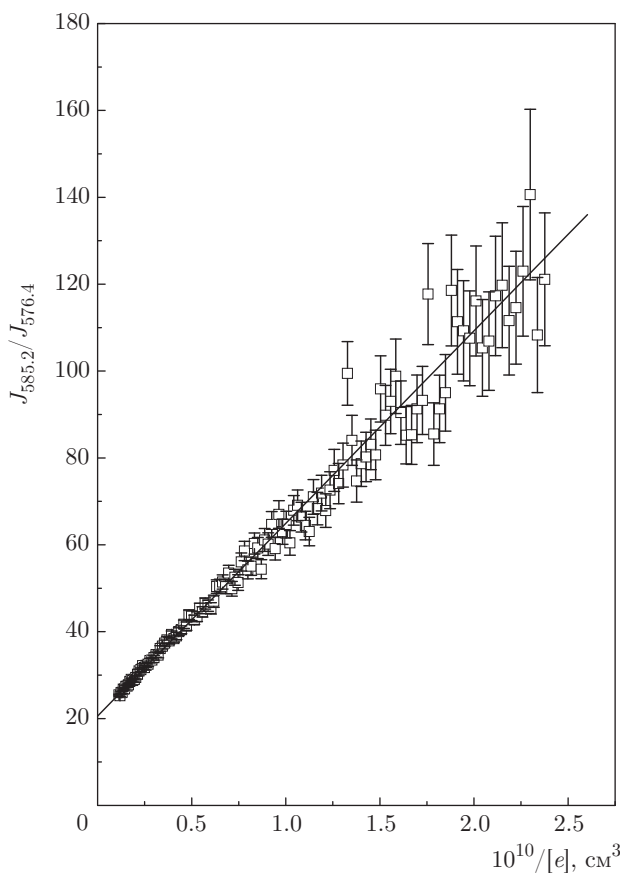
**Таблица 2.** Уровни энергии состояний  $2p^54p$ -конфигурации, исследованные линии и соответствующие им переходы [18]

| Уровень<br>(по Пашену) | Энергия, эВ        | Переход   | Длина волны, нм   |
|------------------------|--------------------|---|-------------------|
| $3p_1$                 | 20.36885           | $3p_1 \rightarrow 1s_2$                         | 352.05            |
| $3p_2$                 | 20.29717           | $3p_2 \rightarrow 1s_3$                         | 346.05            |
| $3p_4, 3p_2$           | 20.29728, 20.29717 | $3p_4 \rightarrow 1s_2 + 3p_2 \rightarrow 1s_2$ | $359.35 + 359.36$ |
| $3p_3$                 | 20.25918           | $3p_3 \rightarrow 1s_4$                         | 345.42            |
| $3p_6$                 | 20.21418           | $3p_6 \rightarrow 1s_5$                         | 344.77            |
| $3p_9$                 | 20.18843           | $3p_9 \rightarrow 1s_5$                         | 347.26            |

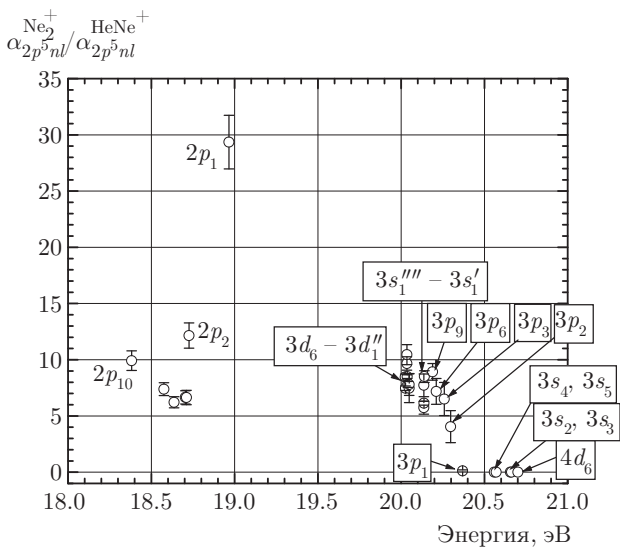
В эксперименте исследовались представленные в табл. 2 спектральные линии.

Характер заселения  $4p$ -уровней оказался следующим: в потоках заселения всех уровней обнаруживается вклад рекомбинации гомоядерных ионов, но

в случае  $3p_1$  он настолько мал на фоне рекомбинации ионов  $\text{HeNe}^+$ , что ошибка в определении относительной величины потока близка к самой величине. Более отчетливо он просматривается в  $3p_2$  и далее увеличивается с уменьшением энергии состо-



**Рис. 4.** Отношение интенсивностей наиболее ярких линий атома неона 585.2 нм и 576.4 нм как функция обратной концентрации электронов:  $P_{\text{He}} = 38$  Торр,  $[\text{Ne}] \approx 10^{13} \text{ см}^{-3}$ ,  $[e](t_d) = 0.9 \cdot 10^{11} \text{ см}^{-3}$



**Рис. 5.** Зависимость величины  $\alpha_{2p^5 nl}^{Ne2+} / \alpha_{2p^5 nl}^{HeNe+}$  от энергии состояния  $\text{Ne}(2p^5 nl)$ .  $P_{\text{He}} = 38$  Торр,  $[\text{Ne}] \approx 10^{13} \text{ см}^{-3}$ ,  $[e](t_d) = 0.9 \cdot 10^{11} \text{ см}^{-3}$

яния. На рис. 5 приведены данные, которые иллюстрируют снижение роли диссоциативной рекомбинации (5) ионов  $\text{Ne}_2^+$  по сравнению с диссоциативной рекомбинацией (2) ионов  $\text{HeNe}^+$  в заселении состояний атома неона по мере роста энергии этих состояний.

На основании результатов измерения интенсивностей спектральных линий неона в послесвечении  $J_\lambda(t)$  и концентрации электронов  $[e](t)$ , с использованием формул (7), (9), а также вероятностей переходов [40–44], необходимых для вычисления коэффициентов ветвлений, были найдены отношения коэффициентов рекомбинации  $\alpha_{2p^5 nl}^{\text{HeNe}^+} / \alpha_{4d'_4}^{\text{HeNe}^+}$  и  $\alpha_{2p^5 nl}^{\text{Ne}_2^+} / \alpha_{4d'_4}^{\text{HeNe}^+}$  для состояний атома неона конфигураций  $2p^5 3p$ ,  $2p^5 3d$ ,  $2p^5 4p$ , и по ним отношения  $\alpha_{2p^5 nl}^{\text{Ne}_2^+} / \alpha_{2p^5 nl}^{\text{HeNe}^+}$ . Из данных, приведенных на рис. 5, видно, что для состояний конфигураций  $2p^5 3p$ ,  $2p^5 3d$ , а также низких уровней  $2p^5 4p$  ( $3p_9$ ,  $3p_6$ ,  $3p_3$ ), т. е. для уровней энергии от 18.38 эВ до 20.26 эВ, отношения коэффициентов рекомбинации  $\alpha_{2p^5 nl}^{\text{Ne}_2^+} / \alpha_{2p^5 nl}^{\text{HeNe}^+}$  лежат в пределах  $6\text{--}10^2$ . Переход от  $3p_3$  (20.26 эВ) к  $3p_2$  (20.30 эВ), а затем и к  $3p_1$  (20.37 эВ) сопровождается резким уменьшением отношения  $\alpha_{2p^5 nl}^{\text{Ne}_2^+} / \alpha_{2p^5 nl}^{\text{HeNe}^+}$ . Заселение вследствие диссоциативной рекомбинации ионов  $\text{Ne}_2^+$  с электронами (5) уровней, лежащих еще выше, в нашем эксперименте обнаружить не удалось. Поэтому для уровней выше  $3p_1$  можно считать, что  $\alpha_{2p^5 nl}^{\text{Ne}_2^+} / \alpha_{2p^5 nl}^{\text{HeNe}^+} = 0$ . Здесь следует отметить, что в условиях данного эксперимента, т. е. при давлениях в несколько десятков Торр, нельзя пренебрегать процессами неупругих столкновений с нейтральными атомами, которые приводят к перемешиванию населенностей возбужденных состояний. Поэтому полученные в результате обработки результатов измерений отношения  $\alpha_{2p^5 nl}^{\text{HeNe}^+} / \alpha_{4d'_4}^{\text{HeNe}^+}$  и  $\alpha_{2p^5 nl}^{\text{Ne}_2^+} / \alpha_{4d'_4}^{\text{Ne}_2^+}$  являются эффективными величинами, которые определяются не только парциальными константами скорости элементарных процессов (2) и (5), но также и константами скорости перемешивания возбужденных состояний при столкновениях с атомами. Однако использованная в работе процедура обработки результатов измерения интенсивностей  $J_\lambda(t)$  на основе формул (7) и (9) в любом случае позволяет разделить

<sup>2)</sup> Исключением является состояние  $2p_1$ , для которого отношение коэффициентов рекомбинации, приведенное на рис. 5, составляет  $29 \pm 3$ . В настоящее время мы не нашли пока объяснение наблюдающейся в условиях нашего эксперимента селективности заселения  $2p_1$  — верхнего уровня в конфигурации  $2p^5 3p$ .

скорости заселения возбужденных состояний атома на составляющие, пропорциональные произведениям  $[\text{Ne}_2^+](t)[e](t)$  и  $[\text{HeNe}^+](t)[e](t)$ , т. е. на потоки, пропорциональные скоростям процессов (5) и (2). Приведенная на рис. 5 зависимость величины  $\alpha_{2p^5nl}^{\text{Ne}_2^+}/\alpha_{2p^5nl}^{\text{HeNe}^+}$  от энергии состояния  $\text{Ne}(2p^5nl)$  позволяет сделать вывод о резком снижении относительного вклада процесса (5) в суммарный поток заселения возбужденного состояния при переходе от уровня  $2p_3$  к  $2p_2$  и почти к исчезновению этого вклада при переходе к  $2p_1$ .

Уместно сравнить эти данные с результатами исследования послесвечения разряда в чистом неоне [45] при давлениях десятки Торр, т. е. в условиях значительно более высоких скоростей колебательной релаксации молекулярных ионов в собственном газе. Эксперимент [45] с «подогревом» электронов в послесвечении показал немонотонный характер зависимости интенсивностей линий, соответствующих переходам с уровней  $3p_1$ ,  $3p_2$  и  $3p_4$ , от температуры электронов. При увеличении температуры электронов от 300 К до 1000 К наблюдался рост интенсивностей линий, что отражало пороговый характер диссоциативной рекомбинации ионов  $\text{Ne}_2^+$  на уровнях  $3p_1$ ,  $3p_2$  и  $3p_4$ . Аналогичный эксперимент в настоящей работе (подробнее см. ниже) таких зависимостей не выявил. Причина указанного различия достаточно очевидна: в заселении уровней  $4p$  принимают участие оба молекулярных иона. Ионы  $\text{HeNe}^+$  по сравнению с  $\text{Ne}_2^+$  обладают значительно меньшей энергией связи и поэтому процесс для них не является пороговым, так что суммарный поток имеет типичную для рекомбинационного послесвечения монотонно убывающую зависимость от температуры электронов. Что касается небольшого потока рекомбинации  $\text{Ne}_2^+$  на уровень  $3p_1$ , то, как и в чисто неоновой плазме [45], мы связываем его с участием в ДР (5) электронов с энергией  $\geq 0.1$  эВ, которые присутствуют в заметном количестве в плазме с максвелловской функцией распределения при  $kT_e \approx 0.03$  эВ. В таком случае, имея в виду заметный вклад  $\text{Ne}_2^+$  в заселение уровней  $3p_2$ ,  $3p_4$  и  $3p_3$ , можем полагать, что энергия связи  $D_x$  ионов  $\text{Ne}_2^+$  лежит в диапазоне (1.26–1.30) эВ, соответствующем положению уровней  $3p_2$ ,  $3p_4$ ,  $3p_3$ .

Сравнивая указанную величину  $D_x$  с данными других работ, представленных в табл. 1, приходим к выводу, что и в условиях весьма малых плотностей неона поток диссоциативной рекомбинации создается преимущественно ионами в основном колебательном состоянии.

### 3.2. Рекомбинация ионов $\text{HeNe}^+$

Из диаграммы рассматриваемых состояний на рис. 3 следует, что в данном случае следует обратить внимание на уровни  $2p^55p$ ,  $2p^55d$ . В спектре распадающейся плазмы импульсного DC-разряда при  $[e] < 10^{11}$  см<sup>-3</sup> нам удалось надежно зарегистрировать временной ход интенсивностей только для нескольких линий  $2p^55d \rightarrow 2p^53p$ , излучаемых уровнями  $2p^55d$  с энергией 21.0155–21.0187 эВ. Наиболее яркие из них — 503.8 нм ( $5d'_4 \rightarrow 2p_9$ ) и 503.1 нм ( $5d'_1 \rightarrow 2p_9$ ) с одинаковым поведением в послесвечении.

Как видно на рис. 2, ход  $J_{503.8}(t)$ , тождествен  $J_{576.4}(t)$ , что указывает на механизм (2) заселения нижних уровней конфигурации  $2p^55d$ . Этот факт мы проверили аналогичными наблюдениями послесвечения барьера разряда при существенно ином соотношении плотностей неона и гелия:  $P_{\text{He}} = (10\text{--}30)$  Торр,  $P_{\text{Ne}} \leq 0.0035$  Торр. При плотности  $[e] < 10^{11}$  см<sup>-3</sup> мы получили такой же результат. Мы полагаем поэтому, что энергия связи  $D_x$  ионов  $\text{HeNe}^+$  в данных условиях не больше разности (21.565–21.0187) эВ, т. е.  $D_x \leq 0.55$  эВ (21.565 эВ — энергия ионизации атома неона  $\text{Ne}^+$  ( $2p^5 2P_{3/2}^0$ )). Для ионов  $\text{HeNe}^+$  мы не указываем нижнюю границу энергии связи, как это сделано выше в случае  $\text{Ne}_2^+$ . Линии с более высокими уровнями при  $[e] < 10^{11}$  см<sup>-3</sup> были слишком слабыми, чтобы можно было с уверенностью говорить об их механизме заселения. Увеличение же плотности электронов сопровождалось появлением конкурирующего потока ударно-радиационной рекомбинации (см. ниже), что не упрощало задачу.

Литературные данные о величине  $D_0$  для иона  $\text{HeNe}^+$  представлены в табл. 3. Совокупность уровней энергии основного состояния иона  $\text{HeNe}^+$  ( $v = 0$ ), соответствующих энергиям связи, полученным в работах [46–51], обозначена на рис. 3 буквой «с». Из данных в табл. 3 следует, что найденная в настоящей работе величина  $D_x$  близка к значениям  $D_0$ , предложенным в работах [49–51]. Это дает основание заключить, что и гетероядерные ионы в условиях настоящего эксперимента находились в основном колебательном состоянии.

### 3.3. Рекомбинация ионов $\text{Ne}^+$

При плотности электронов  $[e] \geq 1.5 \cdot 10^{11}$  см<sup>-3</sup> в спектре распадающейся Не–Не-плазмы были замечены линии с более высоких уровней атома Ne. Мы зарегистрировали несколько линий переходов

Таблица 3. Энергия связи молекулярного иона  $\text{HeNe}^+$  по данным эксперимента [46] и расчетов [47–51]

| Энергия связи $D_0$<br>состояния $X^2 \Sigma_{1/2}^+$<br>$\text{HeNe}^+ (v = 0)$ |  | Метод  | Теория/Эксперимент | Ссылка        |
|--|--|--|--------------------|---------------|
| $\text{см}^{-1}$   | эВ   |  |                    |               |
| $5580 \pm 300$   | $0.69 \pm 0.04$                                  | Анализ электронно-колебательно-вращательного спектра излучения $\text{HeNe}^+$ | Эксперимент        | [46]          |
| 5036   | 0.624  | MRCI <sup>a)</sup>   | Теория             | [47]          |
|  | 0.67   | MRCI   | Теория             | [48]          |
| 5003   | 0.62   | MRCI   | Теория             | [49]          |
| $5200 \pm 200(D_e)^b)$   | $0.588 \pm 0.025(D_0)$                           | Рекомендованное значение   |                    | [49]          |
| 5042 ( $D_e$ )   | 0.561 ( $D_0$ )                                  | MRCI   | Теория             | [50]          |
| 5221 ( $D_e$ )   | 0.647 ( $D_e$ )<br>0.591 ( $D_0$ ) <sup>c)</sup> | MRD-CI <sup>d)</sup>   |                    | [51]          |
|  | 0.55 ( $D_0$ )                                   | Спектроскопия послесвечения импульсного разряда в смеси He–Ne                  | Эксперимент        | Данная работа |

*Примечание.*

a) MRCI – multireference configuration interaction method.

b) Данное значение рекомендовано для  $D_e$  (энергии связи, отсчитанной от положения равновесия) авторами [49] на основании совместного анализа результатов теоретических расчетов и эксперимента [46].

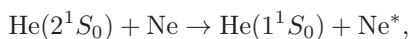
c)  $D_0 = 0.591$  эВ, если принять рекомендованное в работе [49] значение  $\omega_e = 911 \text{ см}^{-1}$ .

d) MRD-CI – multireference single- and double-excitation configuration interaction method.

$2p^5 5d \rightarrow 2p^5 3p$  и  $2p^5 6d \rightarrow 2p^5 3p$ , затухающих в послесвечении заметно быстрее всех упомянутых выше линий. Наиболее яркая из них — 519.3 нм (две неразрешенные в нашем эксперименте линии 519.312 нм и 519.322 нм с уровней  $2p^5 5d$  с энергиейми соответственно 21.11318 эВ и 21.11313 эВ).

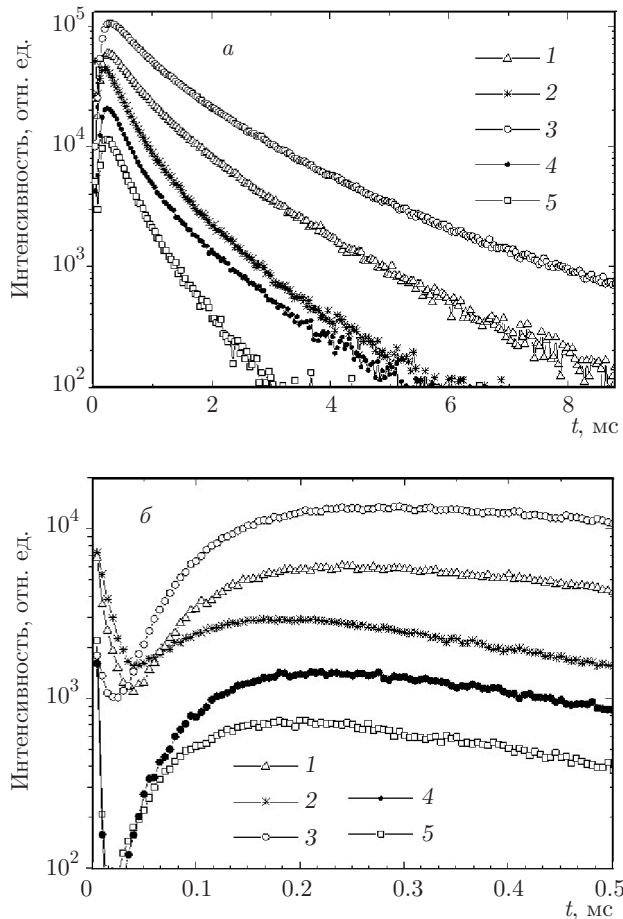
На рис. 6 показан ход интенсивностей ряда линий в послесвечении ДБР при давлении гелия 22 Торр, неона около 0.00035 Торр и начальной плотности электронов  $[e](t = 0) \approx 1.7 \cdot 10^{11} \text{ см}^{-3}$ .

В раннем послесвечении этого типа разряда (рис. 6б) отчетливо проявляется процесс передачи возбуждения



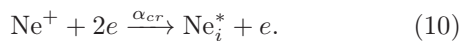
что видно из данных для линий 632.8 нм и 576.4 нм и в меньшей степени для линии 585.2 нм. Верхние уровни линий 503.8 нм и 519.3 нм лежат заметно выше уровня  $\text{He}(2^1S_0)$  (20.616 эВ) и их заселение не связано с этим процессом.

Что касается характера спада интенсивностей рис. 6а, то ясно, что  $J_{519.3}(t)$  указывает на появление еще одного механизма заселения возбужденных состояний атома неона, который проявляется также и на других слабых линиях (503.8 нм и 632.8 нм), происхождение которых было связано при меньшей плотности электронов с ДР ионов  $\text{HeNe}^+$  (2). На ранней стадии послесвечения в He–Ne-плазме присутствуют атомарные ионы неона  $\text{Ne}^+$ , исчезающие

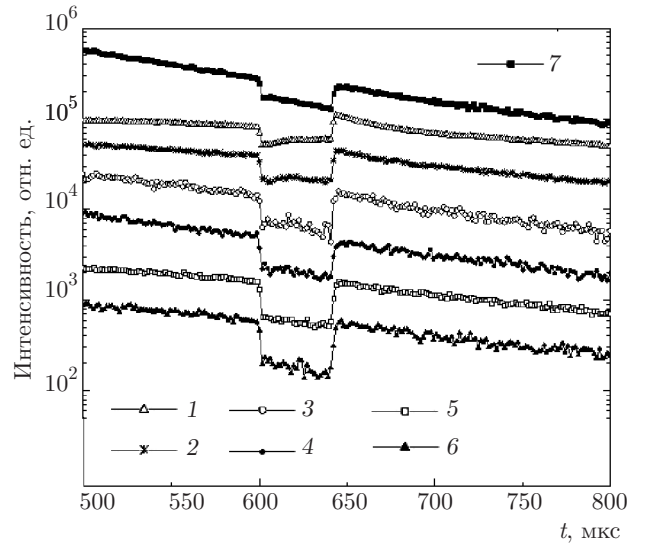


**Рис. 6.** а) Интенсивности линий атома неона: 1 — 576.4 нм, 2 — 632.8 нм, 3 — 585.2 нм, 4 — 503.8 нм, 5 — 519.3 нм. Момент времени  $t = 0$  соответствует началу разряда; б) раннее послесвечение РДБ тех же линий, что на рис. а. Момент времени  $t = 0$  соответствует началу разряда

в тройных столкновениях с образованием  $\text{HeNe}^+$  (3). Их рекомбинация с электронами создает поток излучения вследствие УРР:



В отличие от ДР первичным продуктом реакции (10) являются высоковозбужденные атомы с энергией связи возбужденного электрона масштаба  $kT_e$  [52–54]. Релаксация этих атомов вследствие столкновительных и излучательных процессов формирует такое распределение атомов по возбужденным состояниям (распределение Саха – Больцмана при высоких плотностях электронов  $[e]$ , например, [55, 56]), при котором в излучении плазмы могут присутствовать все разрешенные переходы. Для выяснения роли рекомбинации (10) оценим коэффициент  $\alpha_{cr}$ , воспользовавшись предложенной в работе [56] аппрок-



**Рис. 7.** Отклик интенсивностей спектральных линий на импульсный нагрев электронов в послесвечении при  $[e] \approx 1.8 \cdot 10^{11} \text{ см}^{-3}$ ,  $P_{\text{He}} = 14 \text{ Торр}$ ,  $[\text{Ne}]/[\text{He}] \approx 10^{-4}$ : 1 — 585.2 нм ( $\text{Ne I}$ ), 2 — 576.4 нм ( $\text{Ne I}$ ), 3 — 632.8 нм ( $\text{Ne I}$ ), 4 — полоса  $\text{He}_2^*$  около 640.0 нм, 5 — 503.8 нм ( $\text{Ne I}$ ), 6 — 519.3 нм ( $\text{Ne I}$ ), 7 — 587.6 нм ( $\text{He I}$ )

симацией. Для расчета ионного состава плазмы обратимся к модели [25] распадающейся Не–Не-плазмы. Согласно [56] выражение для коэффициента УРР:

$$\alpha_{cr} = 1.55 \cdot 10^{-10} T_e^{-0.63} + 6.0 \cdot 10^{-9} T_e^{-2.18} [e]^{0.37} + 3.8 \cdot 10^{-9} T_e^{-4.5} [e], \quad (11)$$

здесь  $T_e$  — температура электронов в градусах Кельвина,  $[e]$  — плотность электронов в  $\text{см}^{-3}$ .

Для плотностей электронов  $[e] \approx 1.7 \cdot 10^{11} \text{ см}^{-3}$  и  $T_e = 300 \text{ К}$  имеем  $\alpha_{cr} \approx 4.5 \cdot 10^{-9} \text{ см}^3/\text{с}$ , причем основной вклад дает последнее слагаемое. В соответствии с [25], в условиях обсуждаемого эксперимента плотности ионов  $\text{Ne}^+$  и  $\text{HeNe}^+$  при временах, соответствующих максимуму интенсивностей рис. 6а, одного порядка величины, так что для грубого сравнения потоков УРР ионов  $\text{Ne}^+$  и ДР ионов  $\text{HeNe}^+$  можно просто сравнить их коэффициенты рекомбинации. Согласно [21], при  $T_e = 300 \text{ К}$  для ионов  $\text{HeNe}^+$  величина коэффициента ДР  $\alpha_{dr} \approx 10^{-7} \text{ см}^3/\text{с}$ , т. е. всего в 20 раз превышает величину коэффициента УРР  $\alpha_{cr}$ , и, значит, поток УРР уже вполне может повлиять на ход послесвечения слабых линий.

На рис. 7 показан отклик интенсивностей некоторых линий неона и молекулярной полосы гелия около 640.0 нм на импульсный «подогрев» электро-

нов в послесвечении ДР при временах, когда, согласно измерениям в близких условиях [57], температура электронов уже близка к комнатной. По измерениям в плазме чистого гелия при плотностях электронов  $[e] < 10^{11} \text{ см}^{-3}$  [21, 58] зависимость интенсивностей молекулярных полос гелия от температуры близка к  $T_e^{-1.5}$ . В данном эксперименте мы получили близкий результат. Как видно на рис. 7, самой сильной температурной зависимостью обладает линия 519.3 нм, для которой  $J_{519.3}(T_e) \propto T_e^{-1.9}$ . Это является еще одним аргументом в пользу проявления УРР.

Отметим весьма показательную реакцию интенсивностей линий, связанных с ДР, на импульсный нагрев электронов. Для них характерно подрастание интенсивности в пределах импульса, так что по его окончании интенсивность выше начальной. Появление наблюдалось в экспериментах с микроволновым нагревом электронов криогенной гелиевой плазмы [59] и имело простое объяснение: увеличение  $T_e$  приводило к росту плотности молекулярных ионов вследствие уменьшения скорости рекомбинации при наличии источников ионизации в гелиевом послесвечении. В нашей ситуации роста плотности  $\text{He}_2^+$  не происходило, что следует из  $J_{640.0}(t)$ , зато имело место увеличение плотности молекулярных ионов  $\text{Ne}_2^+$  и  $\text{HeNe}^+$ , что отчетливо видно по интенсивностям линий 585.2 нм и 576.4 нм. Заметим, что оценка коэффициента ДР ионов  $\text{HeNe}^+$  в работе [21]  $\alpha \sim 10^{-7} \text{ см}^3/\text{s}$  получена из анализа результатов подобных экспериментов.

Для полноты картины послесвечения на рис. 7 мы также показали отклик на нагрев электронов интенсивности наиболее яркой линии гелия 587.6 нм ( $3^3D \rightarrow 2^3P$ ). Реакция этой линии, как и других сильных линий атома гелия, была слабой и следовала зависимости интенсивности от температуры, близкой к  $T_e^{-0.5}$ . Заметим, что и в слабоионизованной плазме чистого гелия при давлениях десятки Торр [58] атомный спектр слабо реагирует на нагрев электронов. Эти наблюдения трудно объяснить в модели УРР ионов  $\text{He}^+$ , к которой обычно обращаются при интерпретации гелиевого послесвечения [12] с тех пор, как в работе [60] было указано на отсутствие благоприятного для ДР  $\text{He}_2^+$  расположения потенциальных кривых.

Обсуждение проблемы гелиевого послесвечения далеко от задач настоящей работы. Заметим только, что для его описания, если и следует привлекать механизм УРР, то только в комбинации с альтернативными процессами заселения атомов гелия.

## 4. ВЫВОДЫ

Методом кинетической спектроскопии проведено исследование распадающейся  $\text{He}-\text{Ne}$ -плазмы при малом содержании неона. Давление гелия 10–38 Торр, плотность электронов  $[e] < 2 \cdot 10^{11} \text{ см}^{-3}$ , плотность неона  $[\text{Ne}] < 2 \cdot 10^{-4} [\text{He}]$ . Наблюдались и были идентифицированы процессы рекомбинации всех присутствующих в  $\text{He}-\text{Ne}$ -плазме ионов. Неоновый спектр послесвечения формируется, в основном, диссоциативной рекомбинацией ионов  $\text{Ne}_2^+$  и  $\text{HeNe}^+$  с электронами. При плотности электронов  $[e] > 10^{11} \text{ см}^{-3}$  с этими механизмами в послесвечении наиболее слабых линий атома неона начинает конкурировать ударно-радиационная рекомбинация ионов  $\text{Ne}^+$ . Показано, что набор состояний атома неона, связанных с ДР обоих ионов  $\text{Ne}_2^+$  и  $\text{HeNe}^+$ , ограничен по величине их энергии возбуждения. Для  $\text{Ne}_2^+$  это состояния  $3p_2$  и  $3p_3$  (в обозначениях Пашена) с энергиями соответственно 20.3 и 20.26 эВ, для  $\text{HeNe}^+ - 5d'_1$  с энергией 21.0187 эВ. Таким образом, результаты данного эксперимента приводят к значениям энергии связи (1.26–1.30) эВ для  $\text{Ne}_2^+$  и примерно 0.55 эВ для  $\text{HeNe}^+$ . Эти величины близки к энергиям связи  $D_0$  ионов  $\text{Ne}_2^+$  и  $\text{HeNe}^+$ , имеющимся в литературе. Это показывает, что оптические свойства распадающейся плазмы в рассматриваемых условиях могут быть описаны в рамках GVS-модели диссоциативной рекомбинации как  $\text{Ne}_2^+$ , так и  $\text{HeNe}^+$ , т. е. в модели участия в процессе только ионов в основном колебательном состоянии. Это нетривиальный результат, поскольку при плотностях неона, имевших место в эксперименте, подавлен механизм колебательной релаксации молекулярных ионов при столкновениях с атомами неона.

## ЛИТЕРАТУРА

1. M. A. Biondi and S. C. Brown, Phys. Rev. **75**, 1700 (1949).
2. D. R. Bates, Adv. Atomic, Molec. Opt. Phys. **34**, 427 (1994).
3. А. В. Елецкий, Б. М. Смирнов, УФН **136**, 25 (1982).
4. В. А. Иванов, УФН **162**, 35 (1992).
5. M. Larsson, Ann. Rev. Phys. Chem. **48**, 151 (1997).
6. A. I. Floreescu-Mitchell and J. B. A. Mitchell, Phys. Rep. **430**, 277 (2006).

7. L. Malinovsky, P. Lukac, J. Trnovec et al., Czech. J. Phys. **40**, 191 (1990).
8. Y.-J. Shiu, M. A. Biondi, and D. P. Sippler, Phys. Rev. A **15**, 494 (1977).
9. G. B. Ramos, M. Schlamkowitz, J. Sheldon et al., Phys. Rev. A **51**, 2945 (1995).
10. G. Ramos, J. W. Sheldon, K. A. Hardy et al., Phys. Rev. A **56**, 1913 (1997).
11. T. F. O'Malley, Phys. Rev. **185**, 101 (1969).
12. E. E. Ferguson, F. C. Fehsenfeld, and A. L. Schmeltekopf, Phys. Rev. **138**, A381 (1965).
13. В. А. Иванов, Ю. Э. Скобло, Химическая физика **31**, 61 (2012).
14. В. А. Иванов, А. С. Петровская, Ю. Э. Скобло, Опт. и спектр. **114**, 750 (2013).
15. В. А. Иванов, А. С. Петровская, Ю. Э. Скобло, Опт. и спектр. **117**, 896 (2014).
16. В. А. Иванов, А. С. Петровская, Ю. Э. Скобло, Опт. и спектр. **120**, 184 (2016).
17. В. А. Иванов, А. С. Петровская, Ю. Э. Скобло, Опт. и спектр. **123**, 689 (2017).
18. E. B. Saloman and C. J. Sansonetti, J. Phys. Chem. Ref. Data **33**, 1113 (2004).
19. В. А. Иванов, И. В. Макасюк, Изв. вузов, сер. физ. **10**, 43 (1988).
20. V. A. Ivanov and A. S. Prichodjko, J. Phys. B **24**, L459 (1991).
21. В. А. Иванов, Ю. Э. Скобло, ЖЭТФ **106**, 1704 (1994).
22. I. Erkan and T. Akan, Phys. Plasm. **23**, 053501 (2016).
23. L. Goldstein, J. M. Anderson, and G. L. Clark, Phys. Rev. **90**, 486 (1953).
24. R. K. Nesbet, Phys. Rev. A **20**, 58 (1979).
25. В. А. Иванов, А. С. Петровская, Ю. Э. Скобло, Химическая физика **35**, 87 (2016).
26. G. E. Veatch and H. J. Oskam, Phys. Rev. A **2**, 1422 (1970).
27. C. P. de Vries and H. J. Oskam, Phys. Rev. A **22**, 1429 (1980).
28. D. C. Morton, Q. Wu, and G. W. F. Drake, Can. J. Phys. **84**, 83 (2006).
29. L. Frommhold, M. A. Biondi, and F. J. Mehr, Phys. Rev. **165**, 44 (1968).
30. L. Frommhold and M. A. Biondi, Phys. Rev. **185**, 244 (1969).
31. H.-U. Mittmann and H.-P. Weise, Z. Naturforsch. **29a**, 40 (1974).
32. D. J. Trevor, J. E. Pollard, W. D. Brewer et al., J. Chem. Phys. **80**, 6083 (1984).
33. L. Brostroem, M. Larsson, S. Mannervik et al., J. Chem. Soc. Faraday Trans. **87**, 797 (1991).
34. R. Ciurylo, A. Bielski, J. Domyslawska et al., J. Phys. B **27**, 4181 (1994).
35. R. I. Hall, Y. Lu, Y. Morioka et al., J. Phys. B **28**, 2435 (1995).
36. A. Carrington, D. I. Gammie, J. C. Page et al., J. Chem. Phys. **116**, 3662 (2002).
37. J. S. Cohen and B. Schneider, J. Chem. Phys. **61**, 3230 (1974).
38. H. H. Michels, R. H. Hobbs, and L. A. Wright, J. Chem. Phys. **69**, 5151 (1978).
39. J. Masik, J. Urban, P. Mach et al., Internat. J. Quant. Chem. **63**, 333 (1997).
40. R. A. Lilly, J. Opt. Soc. Amer. **65**, 389 (1975).
41. R. A. Lilly, J. Opt. Soc. Amer. **66**, 245 (1976).
42. R. A. Lilly, J. Opt. Soc. Amer. **66**, 971 (1976).
43. P. W. Murphy, J. Opt. Soc. Amer. **58**, 1200 (1968).
44. M. J. Seaton, J. Phys. B **31**, 5315 (1998).
45. В. А. Иванов, В. С. Сухомлинов, ЖТФ **53**, 843 (1983).
46. I. Dabrowski and G. Herzberg, J. Molec. Spectr. **73**, 183 (1978).
47. J. Wasilewski, V. Staemmler, and S. Koch, Phys. Rev. A **38**, 1289 (1988).
48. B. Gemein, R. de Vivie, and S. D. Peyerimhoff, J. Chem. Phys. **93**, 1165 (1990).
49. J. Seong, K. C. Janda, M. P. McGrath et al., Chem. Phys. Lett. **314**, 501 (1999).
50. M. F. Falsetta, M. J. Dorko, and P. E. Siska, J. Chem. Phys. **113**, 11044 (2000).
51. X. J. Liu, Y. Z. Qu, B. J. Xiao et al., Phys. Rev. A **81**, 022717 (2010).

52. D. R. Bates, A. E. Kingston, and R. W. P. McWhirter, Proc. R. Soc. A **267**, 297 (1962).
53. А. В. Гуревич, Л. П. Питаевский, ЖЭТФ **46**, 1281 (1964).
54. H. R. Griem, Phys. Rev. **131**, 1170 (1963).
55. A. Hirabayashi, Y. Nambu, M. Hasuo et al., Phys. Rev. A **37**, 87 (1988).
56. J. Stevefelt, J. Boulmer, and J.-F. Delpach, Phys. Rev. A **12**, 1246 (1975).
57. R. Deloche, P. Monchicourt, M. Cheret et al., Phys. Rev. A **13**, 1140 (1976).
58. В. А. Иванов, Ю. Э. Скобло, Изв. вузов, сер. физ. **27**, 67 (1984).
59. P. D. Goldan, J. A. Berlande, and L. Goldstein, Phys. Rev. Lett. **13**, 182 (1964).
60. R. S. Mulliken, Phys. Rev. **136**, A962 (1964).